



## بررسی عوامل مؤثر بر رنگزای آزو راکتیو (C.I. Reactive Red 120) به روش فنتون

فرزانه امامی<sup>۱</sup>، علیرضا تهرانی بقا<sup>۲\*</sup>، کمال الدین قرنجیگ<sup>۳</sup>

۱- کارشناس ارشد، گروه پژوهشی رنگ و محیط زیست، پژوهشگاه علوم و فناوری رنگ، تهران، ایران، صندوق پستی: ۱۶۷۶۵-۶۵۴

۲- استادیار، گروه پژوهشی رنگ و محیط زیست، پژوهشگاه علوم و فناوری رنگ، تهران، ایران، صندوق پستی: ۱۶۷۶۵-۶۵۴

۳- استادیار، گروه پژوهشی مواد رنگزای آبی، پژوهشگاه علوم و فناوری رنگ، تهران، ایران، صندوق پستی: ۱۶۷۶۵-۶۵۴

تاریخ دریافت: ۱۳۸۸/۹/۱ تاریخ پذیرش: ۱۳۸۹/۱/۲۱ در دسترس به صورت الکترونیکی از: ۱۳۸۹/۶/۲۰

### چکیده

در این تحقیق اطلاعاتی در مورد کاربرد فرآیند فنتون به عنوان یک روش اکسیداسیون پیشرفتہ برای تصفیه پساب حاوی یک رنگزای آزو راکتیو (C.I. Reactive Red 120) گزارش شده است. برای به دست آوردن شرایط عملکرد مقرر به صرفه برای کاربرد فرآیند اکسیداسیون فنتون، تأثیر پارامترهای اصلی عملیات مثل میزان سولفات آهن، آب اکسیژن، pH محلول، دما، غلظت اولیه رنگزای و حضور غلظت‌های متفاوت از کلرید سدیم و سولفات سدیم در مقیاس آزمایشگاهی مورد مطالعه قرار گرفت. نتایج حاصل نشان می‌دهد که بهترین مقدار pH در رنگزایی برابر ۳ است. سرعت رنگزایی محلول حاوی رنگزای ۱۲۰ RR120 با افزایش دما، افزایش پیدا می‌کند اما در حضور یون‌های کلرید و سولفات کاهش نشان می‌دهد. افزایش  $Fe^{2+}$  و  $H_2O_2$  تا حد مشخصی باعث افزایش حذف اکسیژن مورد نیاز شیمیایی (COD) و رنگ می‌شود و افزایش غلظت پس از آن غیر ضروری و بی‌تأثیر است. نتایج نشان می‌دهد که با روش اکسیداسیون فنتون بیش از ۹۹٪ رنگزایی و تا ۷۴٪ کاهش COD قابل حصول است.

واژه‌های کلیدی: رنگزای راکتیو، اکسیداسیون پیشرفتہ، واکنشگر فنتون، رنگزایی، حذف COD.

## Influence of Operational Parameters on the Decolorization of an Azo Reactive Dye (C.I. Reactive Red 120) by Fenton Process

F. Emami<sup>1</sup>, A. R. Tehrani-Bagh<sup>\*1</sup>, K. Gharanjig<sup>2</sup>

<sup>1</sup> Department of Environmental Research, Institute for Color Science and Technology, P.O.Box: 16765-654, Tehran, Iran

<sup>2</sup> Department of Organic Colorants, Institute for Color Science and Technology, P.O. Box: 16765-654, Tehran, Iran

### Abstract

This study provides information on the application of the Fenton process as an advanced oxidation method for the treatment of wastewater containing an azo reactive dye (C.I. Reactive Red 120). To establish cost-efficient operating conditions for potential application of Fenton oxidation process, the influence of the main operating parameters such as iron sulfate and hydrogen peroxide doses, solution pH, temperature, initial dye concentration and presence different concentrations of sodium chloride and sodium sulfate have been studied systematically in a laboratory scale. The obtained results showed that the best pH value for decolorization of dye solution was 3. The decolorization of RR120 enhanced with the increasing of reaction temperature but decreased as a presence of chloride and sulfate ions. The increase of  $Fe^{2+}$  and  $H_2O_2$  doses accelerated the color and COD removals until a point where further addition of  $Fe^{2+}$  or  $H_2O_2$  became inefficient and unnecessary. The result indicated that over 99% color removal and up to 74% COD removal can be obtained by Fenton's oxidation. J. Color Sci. Tech. 4(2010), 105-114 © Institute for Color Science and Technology.

**Keywords:** Reactive dye, Advanced oxidation, Fenton reagent, Color removal, COD removal.

\*Corresponding author: [tehrani@icrc.ac.ir](mailto:tehrani@icrc.ac.ir)

کاتالیست آهن دو ظرفیتی را در محیط واکنش نشان می‌دهند [۹-۱۱].



در هر حال امکان انجام یک سری واکنش‌های رقابتی نیز وجود دارد (روابط ۶-۹). این واکنش‌ها باعث از بین رفتن رادیکال هیدروکسیل می‌شوند و تأثیر منفی بر فرآیند اکسیداسیون دارند [۱۲، ۱۱].



روش فنتون را می‌توان در تصفیه پساب‌های نساجی به کار گرفت زیرا با تغییرات جزئی بر روی سیستم‌های قدمی (اعقاد-لخته‌سازی) قابل بکارگیری است. با این روش می‌توان COD پساب‌هایی را که از طریق بیولوژیکی غیر قابل تخریب هستند، تا حد زیادی کاهش داد. یکی از مزایای مهم روش فنتون این است که آهن به کار گرفته شده غیر سمی و قابل بازیافت است و آب اکسیژنه مورد مصرف مشکل زیست محیطی ایجاد نمی‌کند [۱۳].

مقالات متعددی در زمینه بکارگیری فرآیند فنتون در رنگبری از پساب حاوی مواد رنگزای آلی وجود دارد که هر یک جدایانه شرایط بهینه رنگبری ساختارهای مختلف شیمیایی مواد رنگزا را مورد مطالعه قرار داده است. مطالعه فرآیند اکسیداسیون پیشرفت‌هه در تخریب ساختارهای شیمیایی متنوع و جدید ما را قادر می‌سازد تا اطلاعات جامع و کاملی در ارتباط با به کارگیری صنعتی این فرآیند به دست آوریم. هدف از این تحقیق بررسی رنگبری پساب حاوی ماده رنگزای راکتیو قرمز ۱۲۰ به روش فنتون و بررسی اثر عواملی مانند غلظت یون آهن، غلظت پراکسید هیدروژن، pH، دما، دور هم زدن و حضور الکترولیت در حذف ماده رنگزا می‌باشد. تعیین شرایط بهینه فرآیند بر

## ۱- مقدمه

تولید سالیانه مواد رنگزا در جهان حدود هفت صد هزار تن است که شامل طبقه‌های مختلف مواد رنگزا از لحاظ کاربردی و ساختار شیمیایی می‌باشد. این مواد بر حسب ساختار شیمیایی به دسته‌های مختلف آزو، آنتراکینون، زانتین، آکریدین، فلاوین، فتالوسیانین و ... و از لحاظ کاربردی به دسته‌های راکتیو، اسیدی، خمی، مستقیم، دیسپرس و ... تقسیم می‌شوند [۱].

یکی از موارد مهم مصرف مواد رنگزا در صنعت نساجی است. حدود ۷۵٪ مواد رنگرای تولید شده در جهان در رنگرزی کالاهای نساجی، چرم و کاغذ به کار می‌رود و بدیهی است هنگامی که این مواد رنگزا برای رنگ کردن کالای نساجی به کار می‌رond مقداری از آنها در پساب حمام‌های رنگرزی باقی ماند و باعث آلودگی محیط زیست می‌شوند به طوری که پساب کارخانجات نساجی عموماً دارای COD بالایی هستند. مطالعه بر روی حذف مواد آلینده در پساب‌های کارخانجات نساجی، به دلیل پیچیدگی و حضور طیف وسیعی از مواد رنگزا، مواد افزودنی و شویندها مشکل است. حضور مواد رنگزا از آلی باعث رنگی شدن پساب و تا حدی افزایش سمیت آن می‌گردد. روش‌های مختلف و متنوعی برای حذف مواد رنگزا آلی از پساب ارائه شده است که بسیاری از آنها تنها در مقیاس آزمایشگاهی قابل انجام هستند و امکان عملی کردن آنها در مقیاس صنعتی به دلیل مقرن به صرفه نبودن و یا مشکلات متعدد تکنیکی وجود ندارد [۲-۸].

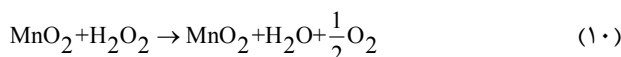
مواد رنگرای راکتیو در بین انواع مواد رنگزا امکان آبکافت بیشتری دارند و احتمال باقی ماندن مقادیر بالا از این مواد در پساب خروجی رنگرزی وجود دارد. بنابراین حذف این مواد رنگزا از پساب‌های آلووده می‌تواند کمک شایانی به حفظ محیط زیست نماید. برای تصفیه پساب‌های حاوی مواد رنگرای راکتیو روش‌های متداولی مانند استفاده از لجن فعال، لخته سازی و تصفیه بیولوژیکی برای تجزیه ساختار مواد رنگزا بکار رفته است. این روش‌ها عموماً احتیاج به زمان بسیار طولانی برای رنگبری دارند و در بسیاری از مواقع حذف کامل مواد رنگزا از پساب میسر نمی‌شود. در مقابل روش‌های اکسیداسیون پیشرفت‌ه بر پایه واکنش‌های کاتالیستی و فوتوكاتالیستی، آزناسیون و ... قادرند تخریب و تجزیه مواد رنگزای آلی را در زمان نسبتاً کوتاه و با بازده بالا انجام دهند [۹]. روش‌های اکسیداسیون پیشرفت‌ه با کمک رادیکال بسیار فعال هیدروکسیل قادرند به شکل بسیار مؤثر و به صورت غیر انتخابی به آلوودگی‌های قابل اکسید شدن حمله کرده و آنها را از بین ببرند [۱۰]. واکنش‌های فنتون عموماً در محیط اسیدی و به وسیله تولید رادیکال هیدروکسیل از آب اکسیژنه و در حضور کاتالیست یون آهن (II) انجام می‌شوند. رابطه ۱ مکانیزم ارائه شده برای واکنش تولید رادیکال هیدروکسیل و روابط ۲ تا ۵ مکانیزم واکنش دوباره تولید

آماده و اسپکتروفوتومتر DR/2500 Hach شرکت استفاده شد.

## ۲-۲-روش کار

فرآیند رنگزایی ماده رنگزای راکتیو (RR120) با استفاده از فرآیند فنتون در شرایط آزمایشگاهی (دما  $25^{\circ}\text{C}$  و نور مهتابی) انجام شد. حجم اولیه محلول در کلیه آزمایش‌ها بجز آزمایش‌های مربوط به بررسی اثر حجم،  $50\text{ ml}$  در نظر گرفته شد و غلظت اولیه ماده رنگزای در تمامی آزمایش‌ها بجز آزمایش‌های مربوط به بررسی اثر غلظت اولیه ماده رنگزای،  $100\text{ mg/l}$  بود. واکنش رنگزایی با افزودن پراکسید هیدروژن به محلول آغاز شده و نمونه برداری از آن در فواصل زمانی مشخص انجام و جذب محلول‌ها در بیشینه طول موج ماده رنگزای، مورد ارزیابی قرار گرفت.

به منظور اندازه‌گیری COD در محلول‌های رنگزایی شده، ابتدا واکنش با قلیایی کردن محیط متوقف شده و آب اکسیژن باقی‌مانده در محلول توسط دی اکسید منگنز و طبق رابطه  $10$  از بین برده شد [۱۴].



برای اندازه‌گیری COD محلول، مقادیر مشخص از پساب به ظرف شیشه‌ای حاوی دی کرومات پتاسیم و اسید سولفوریک اضافه شده و به مدت دو ساعت در دمای  $150$  درجه سانتیگراد حرارت داده می‌شود و پس از سرد شدن مقادیر COD محلول توسط روش اسپکتروفوتومتری ارزیابی می‌شود. اطلاعات دقیق‌تر همراه با جزئیات کار در روش Hach استاندارد شماره ۸۰۰۰ آورده شده است.

اساس حذف COD پساب و بررسی اثر حضور نمک‌های مختلف چون کلرید سدیم و سولفات سدیم بر فرآیند رنگزایی و تخریب از جمله مواردی است که در این مقاله مورد بحث و بررسی دقیق قرار گرفته است.

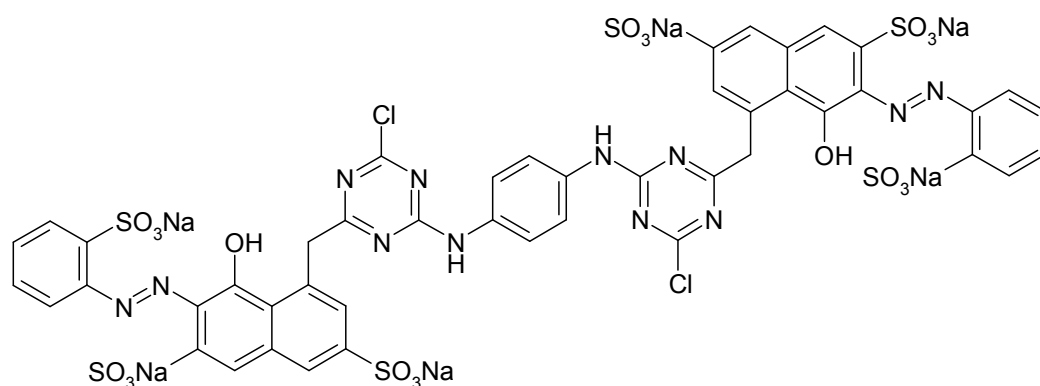
## ۲-بخش تجربی

### ۲-۱-مواد

ماده رنگزای راکتیو قرمز ۱۲۰ (RR120) مورد بررسی در این تحقیق دارای ساختار آزو و با وزن مولکولی  $1469.98$  گرم بر مول، فرمول شیمیایی  $\text{C}_{44}\text{H}_{24}\text{Cl}_2\text{N}_{14}\text{Na}_6\text{O}_{20}\text{S}_6$  می‌باشد که انحلال تقریبی آن در آب  $70$  گرم بر لیتر گزارش شده است. ماده رنگزای تجاری از شرکت dyeose شده است.

سولفات آهن متبلور  $\text{FeSO}_4 \cdot 7\text{H}_2\text{O}$  به عنوان منبع تولید یون آهن دوظرفیتی،  $\text{H}_2\text{O}_2$  با خلوص  $30\%$ ، اسید سولفوریک  $97\%$ ، هیدروکسید سدیم، اکسید منگنز، کلرید و سولفات سدیم همگی با درجه خلوص آزمایشگاهی از شرکت مرک تهیه شدند.

غلظت ماده رنگزای در نمونه‌ها در بیشینه طول موج جذبی که برابر  $516\text{nm}$  بود، با دستگاه اسپکتروفوتومتر دو پرتویی (Perkin-Elmer) lambda 25 و با استفاده از منحنی کالیبراسیون تعیین شد. برای حرارت دادن و هم زدن محلول از یک گرمان مجهز به همزن مغناطیسی استفاده شد و تنظیم pH توسط اسید سولفوریک  $\text{N} 0.1$  و هیدروکسید سدیم  $\text{N} 1.0$  انجام گرفت. برای اندازه‌گیری مقادیر اکسیژن مورد نیاز شیمیایی (COD) محلول‌ها از معروف‌های شیمیایی



شکل ۱: ساختار مولکولی ماده رنگزای راکتیو قرمز ۱۲۰.

### ۲-۳- تأثیر غلظت آهن بر بازده رنگبری

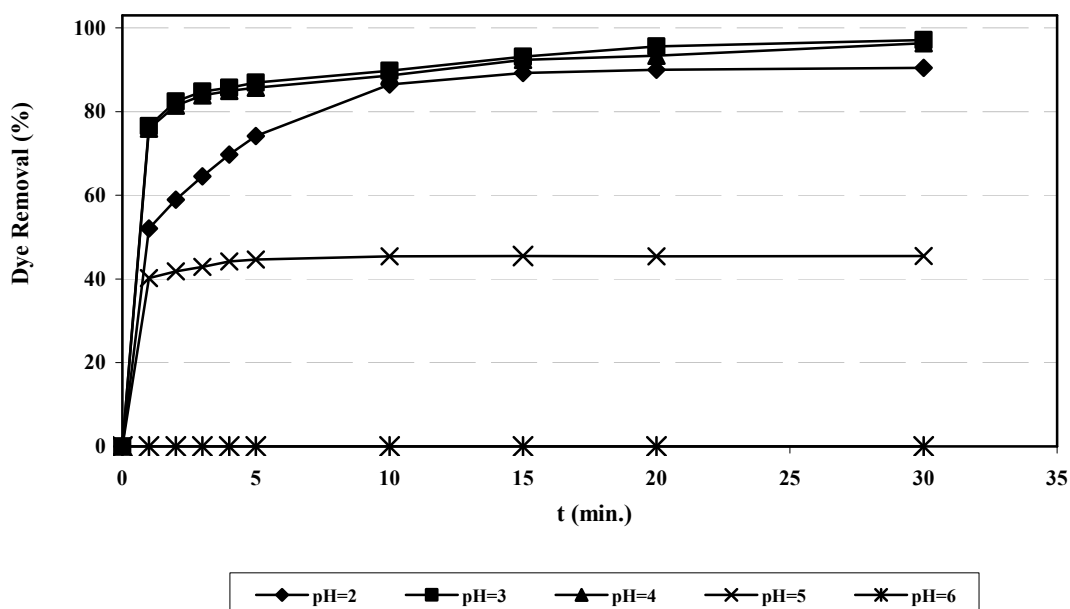
به منظور بررسی اثر غلظت یون آهن بر بازده و سرعت رنگبری، محلول‌های  $100\text{ ppm}$  از ماده رنگزای RR120 تهیه شد. pH محلول‌ها در مقدار ۳ تنظیم و آزمایش با مقادیر مختلف آهن و در دمای محیط و بدون همزدن انجام شد. همان‌طور که در شکل‌های ۳ و ۴ مشاهده می‌شود با افزایش غلظت یون آهن در محلول، صرف نظر از نسبت آب اکسیژنه به آهن بازده رنگبری افزایش می‌یابد. افزایش نسبت آب اکسیژنه به آهن در مقادیر ثابتی از آهن، از نسبت ۱۰ به ۲۰ باعث افزایش سرعت و بازده رنگبری می‌شود اما افزایش آن بعد از نسبت ۲۰ تأثیر چندانی بر سرعت و بازده رنگبری ندارد.

با افزایش غلظت آهن رادیکال هیدروکسیل بیشتری تولید شده و سرعت و میزان رنگبری افزایش می‌یابد (رابطه ۱) [۱۷]. اما بسیاری از تحقیقات نشان می‌دهند که افزایش بیش از اندازه غلظت آهن (II) اثر بازدارندگی در تولید رادیکال هیدروکسیل داشته و سبب کاهش سرعت و بازده تخریب ترکیبات شیمیایی می‌شود (رابطه ۶) [۱۸-۲۰]. در هر حال با توجه به نتایج به دست آمده (شکل ۴) و نظر به اینکه غلظت‌های بالاتر از  $0.1\text{ میلیمولار}$  از آهن (II) تأثیر چندانی در رنگبری پساب حاوی ماده رنگزای RR120 ندارد لذا مقدار بهینه آهن (II) مصرفی تحت این شرایط  $0.1\text{ میلیمولار}$  پیشنهاد می‌گردد.

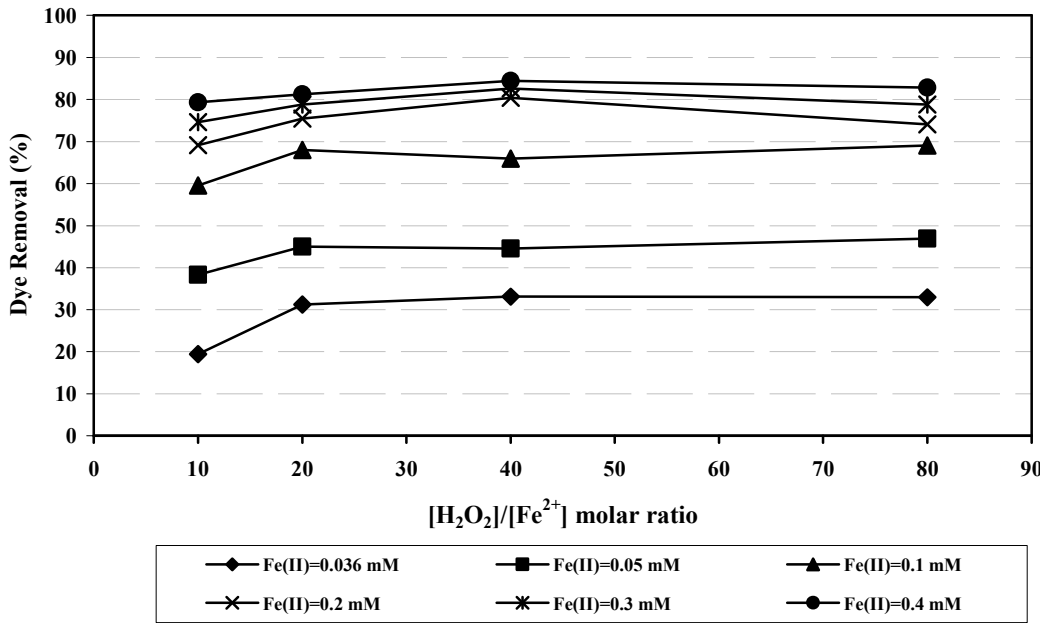
### ۳- نتایج و بحث

#### ۳-۱- بررسی اثر pH

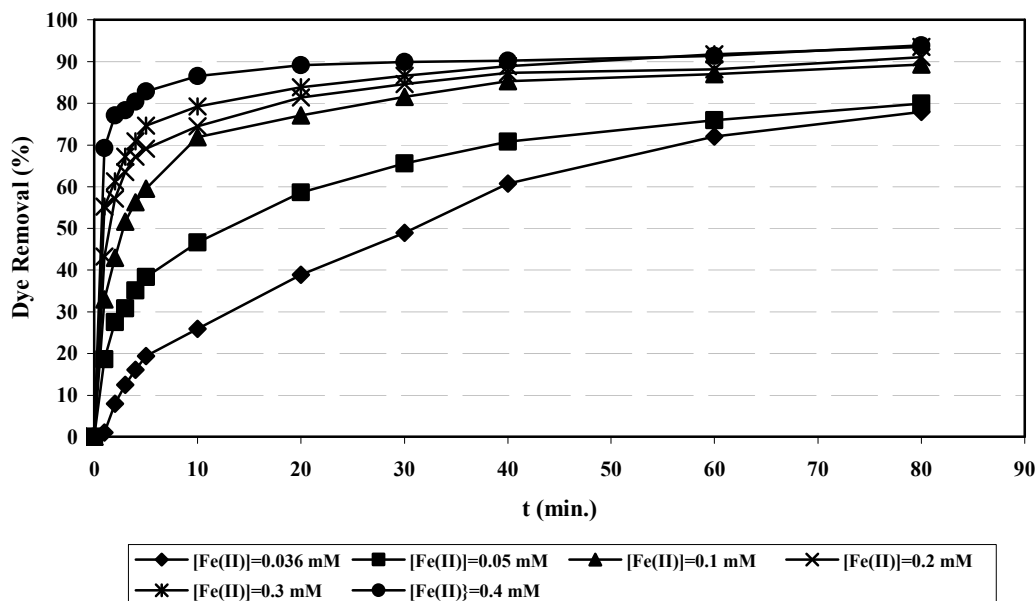
همانطور که در شکل ۲ ملاحظه می‌شود، سریع‌ترین فرآیند رنگبری در  $\text{pH}=3$  انجام گرفته است. طبق گزارش‌های اعلام شده از سایر تحقیقات pH مناسب برای واکنش‌های فنتون در حدود ۳ تا ۴ است، زیرا در pH‌های بالاتر با پایین‌تر یون آهن به صورت لجن از محیط واکنش خارج می‌شود [۱۶، ۱۵]. در pH‌های بالاتر از ۳، آهن (III) به صورت  $\text{Fe(OH)}_3$  رسوب می‌کند و سبب تجزیه آب اکسیژنه به صورت اکسیژن و آب می‌شود. علاوه بر این تشکیل کمپلکس‌های آهن (II) در pH‌های بالاتر سبب کاهش غلظت آن در محیط می‌شود. در مقابل، از دوباره تولید آهن (II) توسط واکنش  $\text{Fe}^{3+} + \text{H}_2\text{O}_2$  در pH‌های اسیدی تر جلوگیری می‌شود. بنابراین، pH برابر ۳ به عنوان pH بهینه واکنش اکسیداسیون فنتون در نظر گرفته شد [۱۱]. برای بررسی تأثیر سایر عوامل مؤثر در ادامه کار pH محلول در کلیه آزمایش‌ها برابر با ۳ تنظیم و مورد ارزیابی قرار گرفت. لازم به ذکر است که رنگزای راکتیو RR120 پایداری بالایی در pH‌های اسیدی و قلیایی دارد و بعد از گذشت یک هفته طیف جذبی محلول آن در pH برابر ۳ تقریباً بدون تغییر باقی ماند.



شکل ۲: اثر pH بر میزان و سرعت رنگبری در  $\text{Fe(II)}=0.3\text{ mM}$ ،  $\text{H}_2\text{O}_2=3\text{ mM}$ ، دمای محیط و بدون هم زدن.



شکل ۳: اثر غلظت یون آهن (II) بر بازده حذف رنگرا (پس از ۵ دقیقه) از پساب با غلظت ماده رنگزای ۱۰۰ ppm در نسبت‌های مختلف آهن و آب اکسیژنه، pH = ۳، دمای محیط و بدون هم زدن.



شکل ۴: اثر غلظت یون آهن (II) بر سینتیک فرآیند رنگبری RR120 در غلظت اولیه ۱۰۰ ppm، pH = ۳، دمای محیط، بدون هم زدن و در نسبت مولی  $[H_2O_2]/[Fe^{2+}] = 10$ .

COD کاهش در pH = ۳، دمای محیط و بدون هم زدن مورد بررسی قرار گرفت. درصد شکل ۵ آورده شده است. زمان طولانی به این دلیل انتخاب شده است که از انجام واکنش کامل و رسیدن به تعادل اطمینان حاصل شود

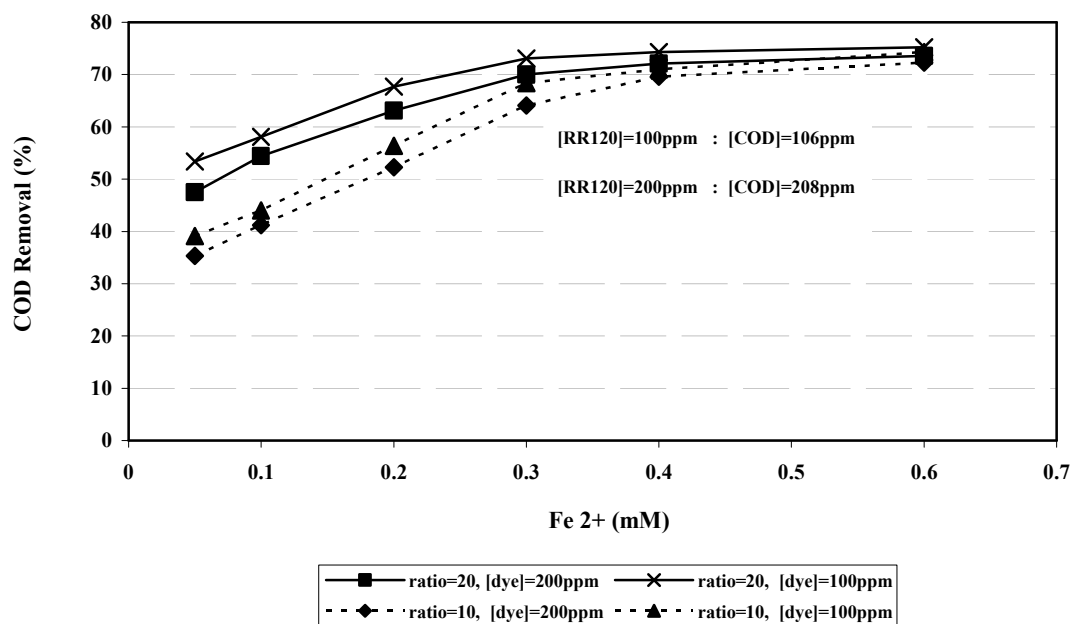
**۳-۳-بررسی تأثیر عوامل مختلف بر حذف COD**  
حذف COD از محلول‌های حاوی ۱۰۰ و ۲۰۰ میلی‌گرم بر لیتر از RR120 در نسبت‌های ۱۰ و ۲۰ آب اکسیژنه به آهن و غلظت‌های مختلف آهن ۰.۰۳۶، ۰.۰۵، ۰.۰۷، ۰.۰۹، ۰.۱۰، ۰.۱۲، ۰.۱۴، ۰.۱۶ و ۰.۱۸ میلی‌مولار و در

#### ۴-۳- اثر غلظت آب اکسیژنه

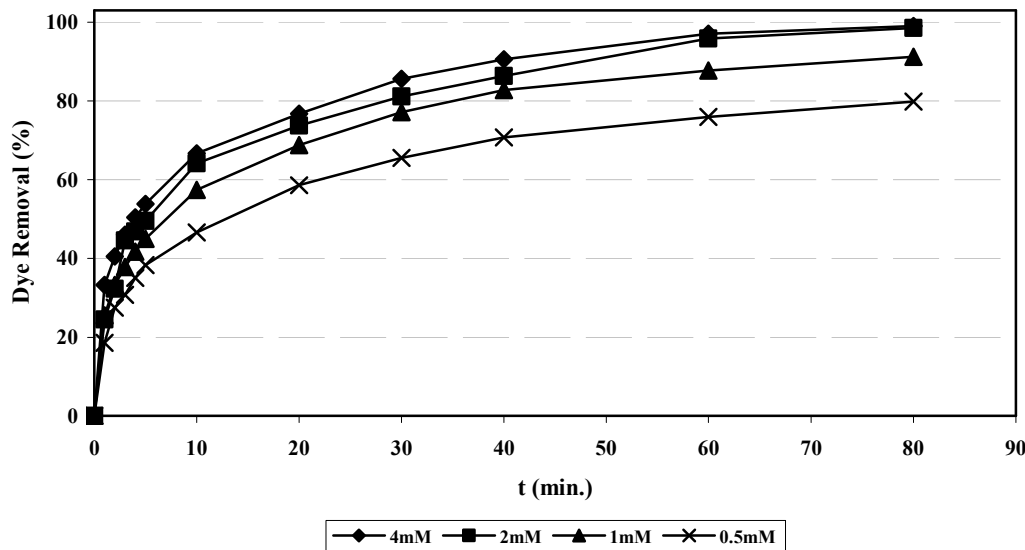
با ثابت نگاه داشتن غلظت آهن و تغییر غلظت پر اکسید هیدروژن در pH برابر ۳ و دمای محیط بر روی محلول های رنگی با غلظت ۱۰۰ ppm به بررسی اثر غلظت پر اکسید هیدروژن بر سرعت و میزان رنگبری پرداخته شده است. نتایج بررسی ها در شکل ۶ نشان می دهد که با افزایش آب اکسیژنه سرعت و میزان رنگبری افزایش پیدا می کند که به علت تشکیل رادیکال های هیدروکسیل بیشتر است. نتایج نشان می دهد که افزایش غلظت اولیه آب اکسیژنه از ۲ به ۴ میلی مولار اگرچه باعث افزایش جزئی سرعت رنگبری از محلول شده است اما تغییرات حذف رنگ پس از گذشت یک ساعت از شروع واکنش تقریباً یکسان است.

انتخاب غلظت مناسب پر اکسید هیدروژن از دو جنبه حائز اهمیت است. اول اینکه آب اکسیژنه گران است و افزایش بیش از اندازه آن باعث افزایش قیمت تمام شده فرآیند می شود. دوم اینکه بر اساس رابطه ۷ افزایش بیش از اندازه آب اکسیژنه می تواند باعث تشکیل رادیکال کم فعال تر هیدرو پر اکسیل شود و بازده فرآیند اکسیداسیون را کاهش دهد [۱۲].

اگرچه بر طبق مستندات، زمان ۲ ساعت هم برای این منظور کافی می باشد. COD اولیه محلول رنگزا ۱۰۰ و ۲۰۰ میلی گرم بر لیتر به ترتیب ۱۰۶ و ۲۰۸ میلی گرم اکسیژن بر لیتر بود. حداقل میزان حذف COD در حداقل غلظت اولیه آهن (II) در حدود ۷۲-۷۴٪ به دست آمده است. روند تغییرات حذف COD محلول ها با افزایش غلظت اولیه آهن (II) افزایش نشان می دهد و تغییرات تا  $[Fe^{2+}] = 0.3 \text{ mM}$  شیب تند و بعد از آن روند تغییرات بسیار کند و آهسته و تقریباً ثابت است. گزارش شده است که افزایش بیش از اندازه آهن (II) و یا آب اکسیژنه تأثیر منفی بر حذف COD می گذارد و از این رو تعیین مقادیر بهینه و مقادیر لازم برای حصول بهترین بازده ضروری است [۱۵، ۱۶]. بر اساس نتایج به دست آمده غلظت بهینه آهن (II) برای کاهش COD مقدار  $0.3 \text{ mM}$  پیشنهاد می شود که سه برابر بیشتر از غلظت بهینه پیشنهادی برای رنگبری از محلول است. در هر حال با توجه به اینکه کاهش شاخص COD محلول از اهمیت بیشتری نسبت به رنگبری تنها برخوردار است به نظر می رسد برای حصول بهترین نتیجه می بایست از مقدار  $0.3 \text{ mM}$  آهن (II) و در نسبت مولی  $H_2O_2 / Fe^{2+} = 10$  بهره گرفت.



شکل ۵: نمودار کاهش و حذف COD محلول های حاوی RR120 در غلظت های اولیه مختلف آهن (II) و نسبت های مختلف آب اکسیژنه به آهن در  $3^\circ\text{C}$  pH، دمای محیط و بدون همزدن.



شکل ۶: اثر غلظت آب اکسیژنه بر بازده و سرعت رنگبری از پساب با غلظت ماده رنگزای ۱۰۰ ppm

$$\text{pH} = ۳ \quad [\text{H}_2\text{O}_2]/[\text{Fe}^{2+}] = ۱۰$$

### ۳-۶- اثر حجم پساب بر فرآیند رنگبری

عملیات رنگبری در ۵ حجم مختلف ۵۰، ۱۰۰، ۲۰۰ و ۴۰۰ میلی لیتر انجام شد. این آزمایش بر روی محلول ۱۰۰ ppm از رنگزای، در ۳ pH و ۰.۳ mM [Fe<sup>2+</sup>]<sub>0</sub>=۰، نسبت مولی آب اکسیژنه به آهن برابر ۱۰ و در شرایط آزمایشگاه انجام گرفت.

نتایج حاصل نشان داد که حجم محلول در سرعت و بازده رنگبری بی تأثیر است و این واکنش ها در تمام حجم ها با روندی مشابه انجام می شود. با توجه به اینکه سینتیک واکنش های رنگبری کاملاً منطبق بر یکدیگر بود، در اینجا از نمایش شکل مربوطه به منظور کوتاه تر شدن مقاله صرف نظر گردید.

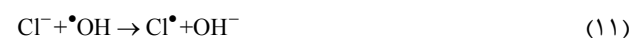
### ۷-۳- اثر دور هم زدن

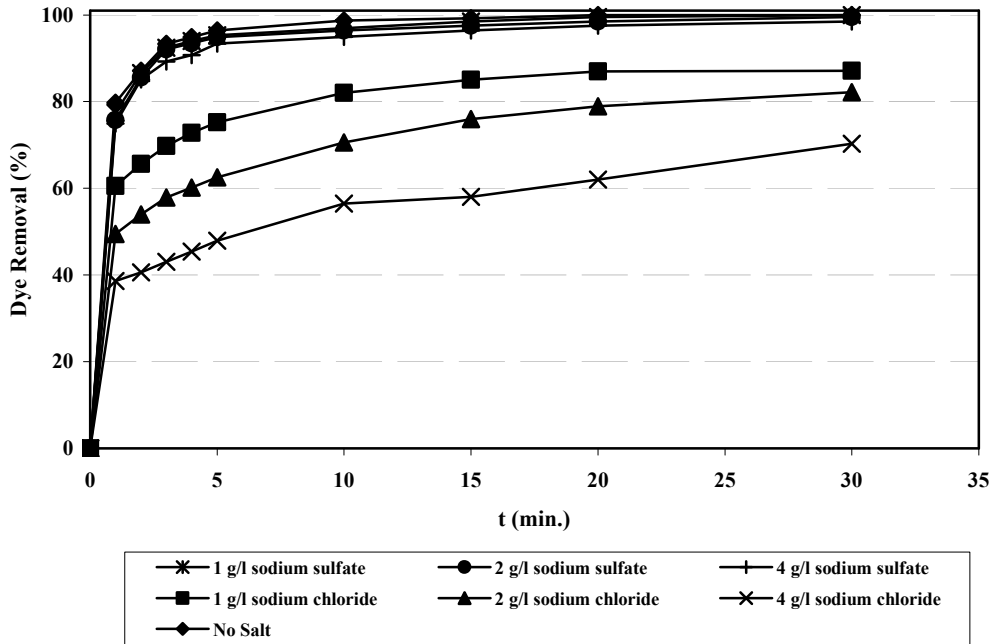
رنگبری از پساب با غلظت ۱۰۰ ppm، در pH برابر ۳ و دمای محیط با دور هم زدن اسمی ۱۰۰۰ و ۲۰۰۰ دور بر دقیقه مورد بررسی قرار گرفت. همان طور که در شکل ۸ ملاحظه می شود با ایجاد اختلاط در محلول به دلیل افزایش احتمال برخورد های موثر و آسانتر شدن تشکیل رادیکال هیدروکسیل، سرعت و بازده رنگبری افزایش پیدا می کند. نتایج نشان می دهد که تفاوت قابل ملاحظه ای در سینتیک فرآیند رنگبری با و بدون هم زدن وجود دارد لیکن با گذشت زمان بازده نهایی برای هر دو فرآیند یکسان خواهد بود. در اکثر مقالات، فرآیند رنگبری از پساب توسط اکسیداسیون فنتون بدون هم زدن گزارش شده است. با توجه به اینکه کاتالیست به صورت یکنواخت در محلول وجود دارد انتظار می رود که تفاوت ناچیزی در سرعت رنگبری در سرعت های مختلف هم زدن وجود داشته باشد.

### ۵-۳- اثر حضور الکترولیت

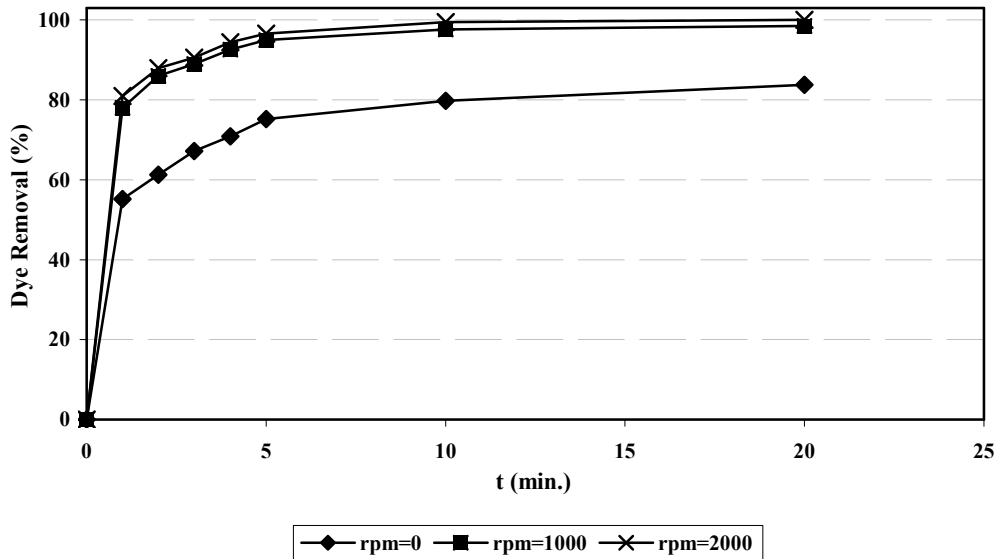
در عملیات رنگزایی با ماده رنگزای راکتیو حضور نمک ضروری است. بنابراین، لازم است اثر الکترولیت بر فرآیند رنگبری بررسی شود. به منظور بررسی اثر الکترولیت بر سرعت و بازده رنگبری از پساب حاوی ۱۰۰ ppm از ماده رنگزای، حضور دو الکترولیت کلرید سدیم و سولفات سدیم با غلظت های ۱، ۲ و ۴ گرم بر لیتر در محلول رنگی مورد بررسی قرار گرفت. نتایج به دست آمده در شکل ۷ نشان می دهد که با افزایش غلظت الکترولیت در پساب مورد آزمایش سرعت و بازده رنگبری کاهش پیدا می کند و تأثیر کلرید سدیم در کاهش بازده و سرعت رنگبری بیشتر از نمک سولفات سدیم است.

یون های Cl<sup>-</sup> بر اساس روابط ۱۳ و ۱۴ و یون های SO<sub>4</sub><sup>2-</sup> بر اساس روابط ۱۵ و ۱۶ می توانند باعث از بین رفتان رادیکال هیدروکسیل و تشکیل رادیکال های کم فعال تر شوند که اثر منفی بر بازده فرآیند اکسیداسیون و رنگبری خواهد گذاشت [۲۱، ۱۲]:





شکل ۷: اثر غلظت الکترولیت  $\text{Na}_2\text{SO}_4$  و  $\text{NaCl}$  بر میزان رنگبری در  $\text{pH}=3$  و  $[\text{Fe}^{2+}]_0=0.3 \text{ mM}$  و  $[\text{H}_2\text{O}_2]_0=3 \text{ mM}$

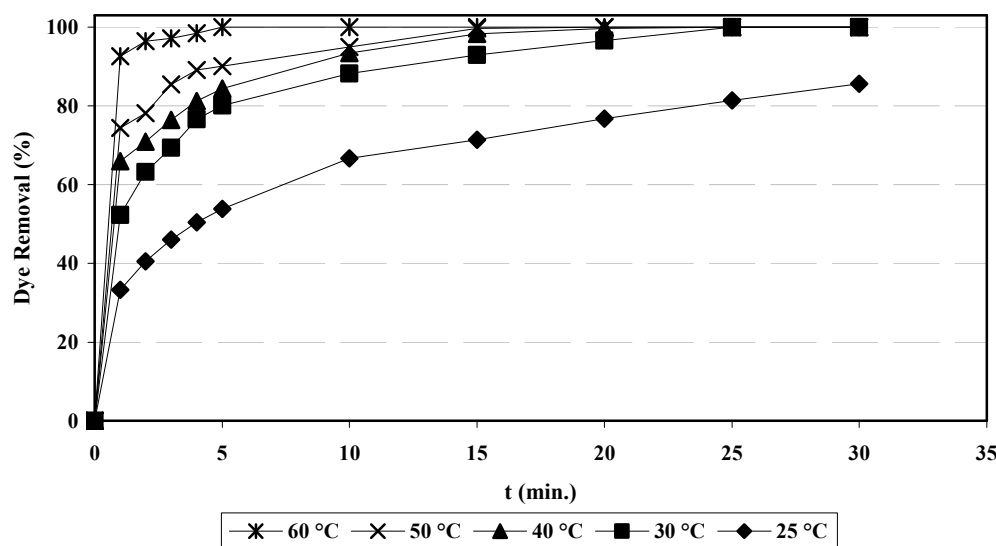


شکل ۸: اثر دور هم زدن در  $\text{pH}=3$  و  $[\text{Fe}^{2+}]_0=0.3 \text{ mM}$  و  $[\text{H}_2\text{O}_2]_0=3 \text{ mM}$  بر رنگبری از محلول  $100 \text{ ppm}$  رنگزای RR120

نظیر رادیکال هیدروکسیل به شدت افزایش می‌یابد [۲۲، ۱۸، ۱۲]. نتاباین، می‌توان انتظار داشت که با افزایش دما و همزدن محلول، فرآیند رنگبری می‌تواند در حضور مقادیر کمتری از سولفات آهن و آب اکسیژنه و با سرعت بالا انجام گردد که این مسئله از لحاظ بکارگیری تکنیکی بسیار حائز اهمیت است. لازم به ذکر است که چنانچه از مقادیر بیشتر آهن (II) و آب اکسیژنه در بررسی اثر دما استفاده شود، سرعت رنگبری به قدری سریع است که تفکیکی بین سینتیک رنگبری در دمای مختلف وجود نمی‌آید و تاثیر دما به خوبی مشخص نمی‌شود.

### ۳-۸-۳- اثر دما

رنگبری از پساب حاوی  $100 \text{ ppm}$  رنگزای راکتیو RR120 در  $\text{pH}=3$  و پنج دمای مختلف ( $30^\circ\text{C}$ ,  $25^\circ\text{C}$ ,  $20^\circ\text{C}$ ,  $15^\circ\text{C}$  و  $10^\circ\text{C}$ ) در درجه سانتیگراد انجام شد. برای مشاهده اثر دما بر فرآیند رنگبری، مقدار غلظت اولیه آهن (II)  $0.36 \text{ mM}$  میلی مولار در نظر گرفته شد که بسیار کمتر از مقدار بهینه پیشنهادی در بخش ۳-۲ باشد. همان‌طور که در شکل ۹ ملاحظه می‌شود با افزایش دما، سرعت و بازده رنگبری افزایش پیدا می‌کند. زیرا دمای بالاتر باعث افزایش سرعت واکنش آب اکسیژنه با ترکیبات مختلف آهن در محیط می‌شود و تولید عوامل اکسید کننده



شکل ۹: اثر دما بر میزان و سرعت رنگبری در  $\text{pH}=3$  دوره‌نمذدن ۱۰۰۰ دور بر دقیقه،  $[\text{Fe}^{2+}]_0 = ۰, ۰, ۳\text{ mM}$  و نسبت مولی  $[\text{H}_2\text{O}_2]/[\text{Fe}^{2+}] = ۱۰$

به خصوص کلرید سدیم اثر منفی بر سرعت و بازده فرآیند رنگبری دارند. بررسی اثر دما بر فرآیند فنتون نشان داد که سرعت رنگبری پساب در دماهای بالا با استفاده از مقادیر کمتر از آهن (II) و با سرعت بالا امکان‌پذیر است. با توجه به اینکه پساب‌های صنایع رنگرزی عموماً در دمای بالا تخلیه می‌شوند، با تنظیم pH پساب برابر ۳ و استفاده از سیستم اکسیداسیون فنتون برای تصفیه می‌توان با استفاده از مقادیر بسیار کم از آهن (II) فرآیند رنگبری را خیلی سریع انجام داد که از لحاظ کاربردی بسیار قابل توجه می‌باشد.

#### ۴- نتیجه‌گیری

پارامترهای موثر بر رنگبری و حذف COD پساب حاوی ماده رنگزای راکتیو RR120 به وسیله فرآیند اکسیداسیون فنتون مورد بررسی قرار گرفت. فرآیند رنگبری در pH بهینه ۳ انجام گرفت و تأثیر غلظت اولیه آهن دو ظرفیتی، آب اکسیژنه و نسبت مولی آنها تعیین شد. غلظت بهینه آهن (II) برای فرآیند رنگبری و حذف COD به ترتیب ۰,۱ و ۰,۰ میلی‌مولار تعیین شد. نسبت مولی بهینه آب اکسیژنه به آهن نیز ۱۰ در نظر گرفته شد. نتایج نشان داد که افزایش نمک‌های مختلف و

#### ۵- مراجع

1. X. R. Xu, H. B. Li, W. H. Wang, J. D. Gu, Degradation of dyes in aqueous solutions by the Fenton process. *Chemosphere*. 57(2004), 595-600.
2. N. Daneshvar, V. Vatanpour, A. R. Khataee, M. H. Rasoulifard, M. Rastegar, Decolorization of mixture of dyes containing Malachite Green and Orange II by Fenton-like reagent. *J. Color Sci. Tech.* 1(2008), 83-89.
3. M. Hasani-Zonoozi, M. R. Alavimoghaddam, M. Arami, Removal of C.I.Acid Blue 292 using polyaluminum chloride. *J. Color Sci. Tech.* 2(2008), 87-94.
4. M. H. Rasoulifard, N. Taheri-Qazvini, E. Farhangnia, A. Heidari, S. M. M. Doust-Mohammadi, Removal of direct Yellow 9 and reactive Orange 122 from contaminated water using chitosan as a polymeric bioadsorbent by adsorption process. *J. Color Sci. Tech.* 4(2010), 17-23.
5. A. R. Tehrani-Bagha, N. M. Mahmoodi, M. Markazi, E. Talaee, Removal of a cationic dye from wastewater by low-cost kaolin. *J. Color Sci. Tech.* 3(2009), 145-155.
6. S. Khorramfar, N. M. Mahmoodi, M. Arami, K. Gharanjig, Dye removal from colored textile wastewater using tamarindus indica hull: Adsorption isotherm and kinetics study. *J. Color Sci. Tech.* 3(2009), 81-88.
7. A. Dalvand, M. Gholami, A. Joneidi, N. M. Mahmoodi, Investigation of electrochemical coagulation process efficiency for removal of Reactive Red 198 from colored wastewater. *J. Color Sci. Tech.* 3(2009), 97-105.
8. N. Saadatjou, M. H. Rasoulifard, A. Heidari, Removal of Basic Red 46 using low-cost adsorbent of hardened paste of portland cement from contaminated water. *J. Color Sci. Tech.* 2(2009), 221-226.
9. S. Meric, H. Selcuk, M. Gallo, V. Belgiorno, Decolourisation and detoxifying of Remazol Red dye and

- its mixture using Fenton's reagent. *Desalination*. 173(2005), 239-248.
10. H. Kušić, A. L. Božić, N. Koprivanac, Fenton type processes for minimization of organic content in coloured wastewaters: Part I: Processes optimization. *Dyes Pigm.* 74(2007), 380-387.
  11. P. Bautista, A. F. Mohedano, J. A. Casas, J. A. Zazo, J. J. Rodriguez, An overview of the application of Fenton oxidation to industrial wastewaters treatment. *J. Chem. Technol. Biotechnol.* 83(2008), 1323-1338.
  12. S.-P. Sun, C.-J. Li, J.-H. Sun, S.-H. Shi, M.-H. Fan, Q. Zhou, Decolorization of an azo dye Orange G in aqueous solution by Fenton oxidation process: Effect of system parameters and kinetic study. *J. Hazard. Mater.* 161(2009), 1052-1057.
  13. N. Modirshahla, M. A. Behnajady, F. Ghanbari, Decolorization and mineralization of C. I. Acid Yellow 23 by Fenton and photo-Fenton processes. *Dyes Pigm.* 73(2007), 305-310.
  14. I. Arslan, I. Akmeht-Balcioglu, Degradation of commercial reactive dyestuffs by heterogenous and homogenous advanced oxidation processes: a comparative study. *Dyes Pigm.* 43(1999), 95-108.
  15. H. Lee, M. Shoda, Removal of COD and color from livestock wastewater by the Fenton method. *J. Hazard. Mater.* 153(2008), 1314-1319.
  16. S. Meriç, D. Kapitan, T. Ölmez, Color and COD removal from wastewater containing Reactive Black 5 using Fenton's oxidation process. *Chemosphere*. 54(2004), 435-441.
  17. H. Xu, D. Zhang, W. Xu, Monitoring of decolorization kinetics of Reactive Brilliant Blue X-BR by online spectrophotometric method in Fenton oxidation process. *J. Hazard. Mater.* 158(2008), 445-453.
  18. B. H. Hameed, T. W. Lee, Degradation of malachite green in aqueous solution by Fenton process. *J. Hazard. Mater.* 164(2009), 468-472.
  19. R. Chen, J. J. Pignatello, Role of quinone intermediates as electron shuttles in Fenton and photoassisted Fenton oxidations of aromatic compounds. *Environ. Sci. Technol.* 31(1997), 2399-2406.
  20. J. M. Joseph, H. Destaillats, H. M. Hung, M. R. Hoffmann, The sonochemical degradation of azobenzene and related azo dyes: Rate enhancements via Fenton's reactions. *J. Phys. Chem. A.* 104(2000), 301-307.
  21. M. Muthukumar, N. Selvakumar, Studies on the effect of inorganic salts on decolouration of acid dye effluents by ozonation. *Dyes Pigm.* 62(2004), 221-228.
  22. J. H. Sun, S. P. Sun, G. L. Wang, L. P. Qiao, Degradation of azo dye Amido Black 10b in aqueous solution by Fenton oxidation process. *Dyes Pigm.* 74(2007), 647-652.